Доклады Академии наук СССР 1973. Том 209, № 4

УДК 537.266

ТЕХНИЧЕСКАЯ ФИЗИКА

Е. Д. ПОЛИТОВА, Ю. Н. ВЕНЕВЦЕВ

НОВЫЕ ТЕЛЛУРСОДЕРЖАЩИЕ СЕГНЕТО-И АНТИСЕГНЕТОЭЛЕКТРИКИ СО СТРУКТУРОЙ ПЕРОВСКИТА

(Представлено академиком Н. Г. Басовым 13 VII 1972)

Интересы науки и техники требуют расширения числа соединений и твердых растворов с особыми диэлектричскими свойствами. Использование известного критерия возникновения спонтанной поляризации (1) позволяет проводить направленный поиск новых сегнетоэлектрических окислов металлов (2).

Нами был синтезирован ряд перовскитных соединений состава $A_2^{2+}B^{2+}Te^{6+}O_6$, где A=Ba, $Pb;\;B=Mg,\;Co,\;Ni,\;Zn,\;Mn,\;Ca,\;Cd,\;a$ также

Таблица 1

Условия синтеза, рентгеновские данные, диэлектрические свойства

N	Соединение	Τ1, °C	T₂, °C	α, b, c (Å)*, α, β	T _C , °C	Диэлектри- ческие свой- ства ***
1 2 3 4 5 6	$\begin{array}{c} \mathrm{Pb_2MgTeO_6} \\ \mathrm{Pb_2CoTeO_6} \\ \mathrm{Pb_2NiTeO_6} \\ \mathrm{Pb_2ZnTeO_6} \\ \mathrm{Pb_2MnTeO_6} \\ \mathrm{Pb_2CaTeO_6} \end{array}$	700 700 700 700 700 700 700	840 820 840 820 830 860	7,99 $8,00$ $7,97$ $8,01$ $8,06$ $a = c = 8,26$ $b = 8,24$	-80 +90, -60 -30 ** 55 170 ** 295	а.с.э. а.с.э., с.и.э. а.с.э а.с.э. а.с.э. а.с.э.
7	${ m Pb_2CdTeO_6}$	70 0	860	$ \begin{vmatrix} \beta = 91°50' \\ 90° < a < 90°5' \\ a = c = 8,24 \\ b = 8,28 \\ \beta = 92°35' \end{vmatrix} $	295	a.c.ə.
8 9 10 11 12	$egin{array}{l} { m Ba_2MgTeO_6} \\ { m Ba_2CoTeO_6} \\ { m Ba_2MnTeO_6} \\ { m Ba_2CaTeO_6} \\ { m Ba_2CdTeO_6} \end{array}$	750 750 750 750 750 750	1100 1100 1100 1100 1100	$ \begin{vmatrix} 90^{\circ} < \alpha < 90^{\circ}5' \\ 8,13 \\ 8,13 \\ 8,19 \\ 8,38 \\ 8,36 \end{vmatrix} $	40 10 ** 140 ** 280 290	c.ə. a.c.ə. a.c.ə. a.c.ə. a.c.ə.

^{*} Определены с точностью ± 0.01 Å. ** Температура $T_{\rm C}$ оценена из графика (рис. 3).

проведено изучение их структуры и диэлектрических свойств. Подобные соединения были синтезированы ранее ($^{3-6}$), однако экспериментальные данные о характере их диэлектрических свойств до сих пор отсутствуют. Вместе с тем наличие в октаэдрическом положении катиона Te^{6+} с малым ионным радиусом (0,56 Å) в согласии с (1) позволяет ожидать возникновения спотанпо-поляризованного состояния в этих теллурсодержащих соединениях.

Синтез образцов проводился по керамической технологии путем двухстадийного обжига в засыпке для предотвращения потерь легко улетучи-

^{***} С.э., а.с.э., с.и.э. — сэгнето-, антисегнето-, сегнетоэлектрик соответственно.

вающихся окислов (PbO, TeO₃, CdO). Продолжительность выдержки при максимальных температурах T_1 и T_2 составляла 6—10 час. В качестве исходных компонент брали стехнометрические смеси окислов и карбонатов: PbCO₃, MgCO₃, CoCO₃, CaCO₃, CdCO₃, NiCO₃ (марки ч.д.а.), BaCO₃, MnO, TeO₃ (марки х.ч.).

В табл. 1 представлены некоторые данные об условиях синтеза, значениях параметров элементарных ячеек, температурах фазовых переходов (на частоте 1 кгц) и характере диэлектрических свойств исследован-

ных соединений.

Параметры заново синтезированных нами перовскитов хорошо согласуются с литературными данными для них (³⁻⁶). На рентгенограммах всех соедипений наблюдались сверхструктурные линии, обусловленные

упорядоченным размещением катионов подрешеток B^{2+} и B^{6+} , так что периоды элементарных ячеек удвоены по всем осям. На рентгенограммах перовскитов № 6 и № 7 рефлексы расшеплены в соответствии с триклинным искажением исходной кубической подъячейки. Истинная элементарная ячейка в этом случае будет моноклинной (7). У остальных соединений линии практически не расщеплены, и их элементарные ячейки могут быть приняты с хорошим приближением за кубиче-

На рис. 1-3 приведены для исследованных соединений, температурные зависимости диэлектрической проницаемости ε , тангенса угла диэлектрических потерь tg δ , а также зависимости температуры Кюри $T_{\rm G}$ и корня кубического из объема элементарной ячейки V^{V_3} от ионного радиуса катионов ${\bf B}^{2+}$.

Положение максимума на кривых є и tg δ для соединений №№ 1, 2, 4, 6—8, 11 сдвигается в область более высоких температур (с одновременным увеличе-

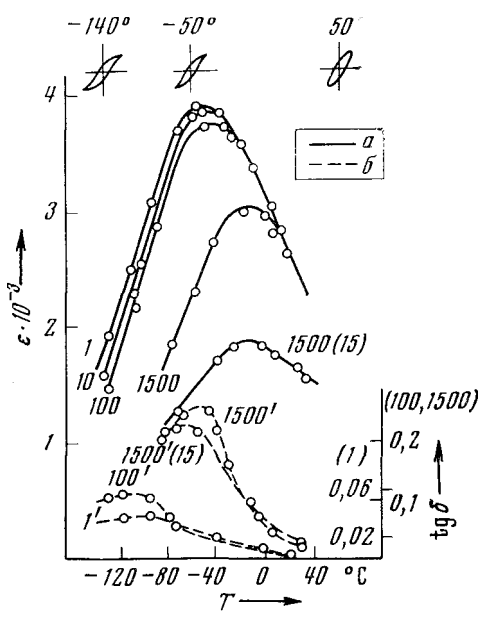


Рис. 1. Температурные зависимости диэлектрической проницаемости ε (a) и тангенса угла диэлектрических потерь $tg \delta$ (δ) для Ba_2MgTeO_5 (цифры у кривых соответствуют частоте измерения в кги, цифры в скобках показывают величину постоянного электрического поля смещения в кв/см)

нием величины є) с ростом частоты измерительного поля. Первое свидетельствует о том, что наблюдаемые фазовые переходы являются размытыми и что в значение возникающей спонтанной поляризации заметный вклад вносит релаксационная составляющая.

Как видно из рис. 1, для соединения № 8 ниже температуры фазового перехода наблюдаются хорошо выраженные петли диэлектрического гистерезиса. Приложение постоянного электрического поля вызывает понижение величины є у этого соединения. На основании полученных данных можно заключить, что соединение Ba₂MgTeO₆ является с.э. с размытым фазовым переходом.

Для остальных исследованных соединений №№ 1-7, 10-12 петель диэлектрического гистерезиса обнаружить не удалось вплоть до пробивных значений поля. С наложением постоянного электрического поля наблюдалось повышение ε для перовскитов № 1 и № 2. На температурной зависимости ε для № 2 достаточно ясно выражены две аномалии при +90 и -60° . По-видимому, первая из них отвечает переходу из параэлект-

рической в а.с.э. фазу, а вторая (учитывая повышенное значение $tg \delta$ на частоте 1,5 Мгц ниже $T=-60^{\circ}$) — переходу из а.с.э. в с.н.э. состояние. Для остальных исследуемых соединений $\mathbb{N}\mathbb{N} 4-7$, 11, 12 при приложении электрического поля определить характер изменения ε было трудно. Однако имеющиеся экспериментальные данные (отсутствие петель диэлектрического гистерезиса, низкие значения ε , триклинные искажения

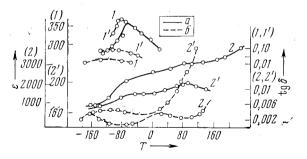


Рис. 2. Температурные зависимости диэлектрической проницаемости ε (a) и тангенса угла диэлектрических потерь $tg \delta$ (б) для Pb_2MgTeO_6 (I, I') и Pb_2CoTeO_6 (Z, Z') на частотах 1 кгц (I, Z) и 1500 кгц (I', Z')

исходной кубической подъячейки для соединений с высокими $T_{\rm C}$ (N N 6, 7), наличие на рентгенограммах этих соединений сверхструктурных линий, появление которых объясняется антипараллельным смещением одноименных катионов) позволяют заключить, что все соединения N N 3-7, 9-12 являются а.с.э.

Наличие особых диэлектрических свойств у ряда синтезированных и изученных соединений $Ba_2B^{2+}Te^{6+}O_6$, где B=Co, Cd, Zn, Mn-катионы, так же как и Te^{6+} не имеющие конфигурации благородных газов, и отсут-

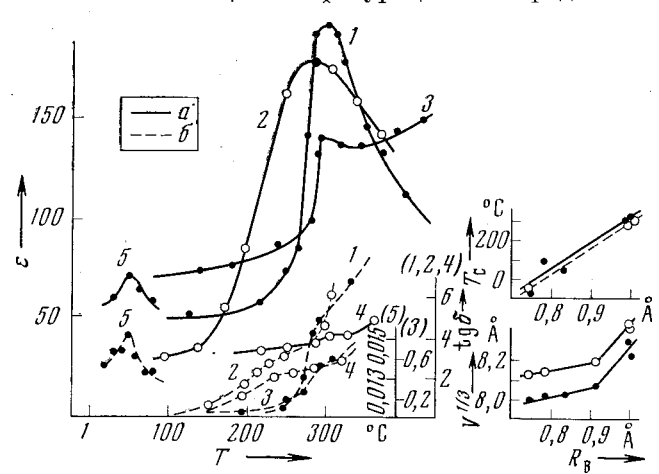


Рис. 3. Температурные зависимости диэлектрической проницаемости ε (a) и тангенса угла диэлектрических потерь $\operatorname{tg}\delta$ (b) для $\operatorname{Pb_2CaTeO_6}$ (l), $\operatorname{Ba_2CaTeO_6}$ (2), $\operatorname{Pb_2CdTeO_6}$ (3), $\operatorname{Ba_2CdTeO_6}$ (4), $\operatorname{Pb_2ZnTeO_6}$ (5) на частоте 1 кгц. Зависимости температуры Кюри T_{C} и корня кубического из объема элементарной ячейки $V^{1/5}$ от иопного радиуса R катионов $\mathrm{B^{2+}}$ (темные точки соответствуют соединениям C $\mathrm{A}=\mathrm{Pb}$, светлые — C $\mathrm{A}=\mathrm{Ba}$)

ствие в их составе высокополяризующихся катионов $\mathrm{Bi^{3+}}$, $\mathrm{Pb^{2+}}$ и $\mathrm{Tl^{1+}}$ подтверждает правильность основных положений критерия возникновения спонтанной поляризации, сформулированного в (1).

Экспериментальное обнаружение с.э. свойств у всех полученных перовскитов, а также данные геометрического анализа для кубических структур перовскитов Ba_2MgTeO_6 и Ba_2NiTeO_6 (показывающие, что в этом случае катионы Ba^{2+} и B^{2+} находятся в «зажатом» состоянии, а катиону

Te⁶⁺ относительно «свободно») позволяет заключить, что подрешетка Te⁶⁺ играет, очевидно, определяющую (сегнетоактивную) роль в возникнове-

нии спонтанной поляризации во всех изученных перовскитах.

Следует отметить также, что у всех соединений с барием элементарные ячейки при комнатной температуре практически не искажены, тогда как наличие у некоторых из них высокотемпературных фазовых переходов, происходящих обычно с искажением формы исходной кубической ячейки, не вызывает сомнений. Подобное явление ранее установлено также для с.э. соединения $PbCd_{16}Nb^2/_3O_3$ с $T_C=280^\circ$ (8, 9).

ется, очевидно, электрострикцией.

Установление сегнето- или антисегнетоэлектрических свойств у изученных соединений находится в согласии с предположением (5) о возможности наличия у некоторых подобных соединений сегнетоэлектрических свойств.

Физико-химический институт им. Л. Я. Карпова Москва

Поступило 7 VII 1972

ЦИТИРОВАННАЯ ЛИТЕРАТУРА

¹ Ю. Н. Веневцев, Изв. АН СССР, сер. физ., **33**, № 7, 1425 (1969). ² Yu. N. V enevtsev, Mat. Res. Bull., **6**, № 10, 1085 (1974). ³ W. Sleight, R. Ward, Inorg. Chem., **3**, 2, 292 (1964). ⁴ G. Bayer, J. Am. Ceram. Soc., **46**, 604 (1963). ⁵ G. Bayer, U. S. 3, 309, 169 (Cl. 23—50) (1967). ⁶ G. Bayer, Fortschr. Mineral, **46**, 1, 41 (1969). ⁷ В. С. Филипьев, Е. Г. Фесенко, Кристаллография, **10**, № 3, 411 (1965). ⁸ В. М. Лебедев, Сборн. Электронная техника, сер. 14, Материалы, в. 1, 14 (1970). ⁹ N. Ісһіпоѕе, Т. Такаһаshі, Ү. Үоко mіzо, J. Phys. Soc. Japan, **31**, 6, 1848 (1971).